

# شناسایی گسلها با استفاده از نشانگر لرزه‌ای همدوسی

نوشته: علیرضا جواهری نیستانک\*، عبدالرحیم جواهریان\* و نوید امینی\*

\* مؤسسه ژئوفیزیک، دانشگاه تهران، تهران، ایران

## Faults Detection Using Seismic Coherency Attribute

By: A.R. Javaheri Niestanak\*, A. Javaherian\*and N. Amini\*

\* Institute of Geophysics, University of Tehran, Tehran, Iran

تاریخ دریافت: ۱۳۸۴/۱۱/۳۰ تاریخ پذیرش: ۱۳۸۵/۰۸/۱۵

### چکیده

یکی از ابزارهای مناسب که در تفسیر ناپیوستگیهای ساختاری و رخسارهای چینه‌شناسی درون مکعب داده‌های لرزه‌ای سه‌بعدی به مفسر کمک می‌کند، نشانگر لرزه‌ای همدوسی است. اندازه‌گیریهای همدوسی در سه بعد، مشابه ردلرزه به ردلرزه را بیان می‌کنند و بنابراین تغییرات قابل تفسیر را در این گونه موارد نشان می‌دهند. ردلرزه‌های مشابه با ضرایب همدوسی بالا به نقشه در می‌آیند، در حالی که بی‌هنگاریها مانند ناپیوستگیها، ضرایب همدوسی پایینی دارند. همدوسی لرزه‌ای معیار سنجش تغییرات جانبی در پاسخ لرزه‌ای که علل آن می‌تواند ساختار زمین‌شناسی، چینه‌شناسی، سنگ‌شناسی، تخلخل و وجود هیدروکربن باشد را نمایان می‌سازد. خروجی این نشانگر، مکعب همدوسی لرزه‌ای سه‌بعدی است که ناپیوستگیهای ساختاری و رخسارهای چینه‌شناسی را با قدرت تفکیک بالاتری به تصویر می‌کشد. در این مقاله، کاربرد دو نشانگر لرزه‌ای همدوسی متدالول بر مبنای همبستگی عرضی و ساختار ویژه در شناسایی گسلها روی داده‌های لرزه‌ای مصنوعی و واقعی نشان داده می‌شود.

با بررسی نتایج بدست آمده در این روش، می‌توان مشاهده کرد که این روش برای مدل‌های مصنوعی برای نسبت سیگنال به نوفه‌های پایین و برای داده واقعی پاسخ مناسبی می‌دهد. همچنین مقایسه روش همدوسی بر مبنای ساختار ویژه با روش همدوسی بر مبنای همبستگی عرضی نشان می‌دهد که قدرت تفکیک آن برای تشخیص گسلها بیشتر است.

**کلید واژه‌ها:** نشانگر لرزه‌ای همدوسی، همبستگی عرضی، ساختار ویژه، گسل، مکعب تحلیل، داده‌های لرزه‌ای سه‌بعدی

### Abstract

Coherency attribute is one of the proper tools in interpretation of structural discontinuities and stratigraphy features in 3-D seismic data. Coherency measurements in three dimensions discuss trace-to-trace similarity and therefore represent interpretable changes in these cases. The similar traces are mapped with high coherence coefficients while anomalies and discontinuities have low coherence coefficients. Coherency attribute shows evaluation criterion of lateral changes in the seismic response, caused by variation in structure, stratigraphy, lithology, porosity and the presence of hydrocarbon. Output of this attribute is a coherence cube which illustrates structural discontinuities and stratigraphy features with higher resolution. In this paper, the application of two conventional coherency attributes based on eigenstructure and crosscorrelation for detection of faults in 3-D synthetic seismic data and actual seismic data is presented.

Considering the experimental results, this method has an appropriate response to low SNR for 3-D synthetic models and 3-D actual data. In addition, the comparison of eigenstructure -based coherency attribute method with crosscorrelation-based coherency attribute method indicates the former has higher resolution for detection faults than the latter.

**Key words:** Seismic coherency attribute, Crosscorrelation, Eigenstructure, Fault, Analysis cube, 3D seismic data



می‌گیرد و هنگامی که سیگنال به سطح نوافه گوسی جمع شونده می‌رسد، نوافه در محاسبات همدوسي حذف می‌شود. در این مقاله، کاربرد نشانگر لرزه‌ای همدوسي بر مبنای ساختار ویژه مورد استفاده قرار می‌گيرد. برای نشان دادن قدرت تفکیک بالای اين روش الگوريتم نشانگر لرزه‌ای همدوسي بر مبنای همبستگي عرضي هم معرفی می‌شود و با روش فوق مورد بررسی و تحليل قرار می‌گيرد.

## ۱-۲- الگوريتم نشانگر لرزه‌ای همدوسي بر مبنای همبستگي عرضي

اين روش به وسیله Bahorich and Farmer (1995) روی داده‌های لرزه‌ای سه بعدی با استفاده از همبستگي عرضي تأخير زمانی برای تخمین شبيه‌اي ظاهری در راستاهای خط گيرنده و خط چشمه برای سه ردلرزه ارائه شد. الگوريتم همدوسي بر مبنای همبستگي عرضي بهنجار شده است. برای محاسبه همدوسي با انتخاب يك ردلرزه مينا و دورد لرزه ديگر در مجاورت آن که يكى در راستاي خط گيرنده و ديگرى در راستاي خط چشمه است، باید ابتدا همدوسي را در راستاي خط گيرنده در يك بازه زمانی مشخص و در همين بازه زمانی همدوسي را در راستاي خط چشمه محاسبه کرده و در نهايیت از حاصلضرب جذر ييشينه مقدار همدوسي در هر بازه در هر راستا که اين مقدار به مرکز بازه زمانی نسبت داده می‌شود، به دست آورده تمام ردلرزه‌های ديگر در راستاي خط گيرنده و خط چشمه انتخابي و همچين در مورد مکعب همدوسي به دست آورده می‌شود.

محاسبه الگوريتم همدوسي ابتدا همبستگي عرضي  $\rho_x(t, l, x_i, y_i)$  در راستاي خط گيرنده  $x$  و در زمان  $t$  بين ردلرزه‌های داده  $u$  در موقعیتهاي  $(x_i, y_i)$  و  $(x_{i+1}, y_i)$  به صورت رابطه ۱ تعریف می‌شود (Marfurt et al., 1998)

$$\rho_x(t, l, x_i, y_i) = \frac{\sum_{\tau=\omega}^{+\omega} u(t-\tau, x_i, y_i) u(t-\tau-l, x_{i+1}, y_i)}{\sqrt{\sum_{\tau=\omega}^{+\omega} u^2(t-\tau, x_i, y_i) \sum_{\tau=\omega}^{+\omega} u^2(t-\tau-l, x_{i+1}, y_i)}} \quad (1)$$

که در آن،  $\omega$  طول لحظه‌اي پنجره همبستگي است. همبستگي عرضي  $m$  تأخير در امتداد خط چشمه  $\rho_y(t, m, x_i, y_i)$  در زمان  $t$  بين ردلرزه‌های داده  $u$  در موقعیتهاي  $(x_i, y_i)$  و  $(x_i, y_{i+1})$  به صورت رابطه ۲ تعریف می‌شود (Marfurt et al., 1998)

$$\rho_y(t, m, x_i, y_i) = \frac{\sum_{\tau=\omega}^{+\omega} u(t-\tau, x_i, y_i) u(t-\tau-l, x_i, y_{i+1})}{\sqrt{\sum_{\tau=\omega}^{+\omega} u^2(t-\tau, x_i, y_i) \sum_{\tau=\omega}^{+\omega} u^2(t-\tau-l, x_i, y_{i+1})}} \quad (2)$$

پس از محاسبه ضرايب همبستگي در امتداد خط گيرنده  $\rho_x(t, l)$  و  $\rho_y(t, m)$  در

نشانگرهاي لرزه‌ای، در حالت کلى داده‌های لرزه‌ای را توصيف می‌کنند که داده‌های لرزه‌ای خصوصيتی از سطح جدايش دو لایه را بيان می‌کنند که در آن، رخدادهای بازتابی بر اساس تغييرات نسبی در مقاومت ظاهری لرزه‌ای در لایه‌های سنگی مجاور هم دیده می‌شوند. همدوسي، يك کميت حساب شده از شباهت بين چند ردلرزه است که بر روی داده‌های لرزه‌ای به کار برده می‌شود و همچين نشانه‌اي از پيوستگي بين دو يا چند ردلرزه‌های پنجره لرزه‌ای را مي‌دهد و ميزان پيوستگي لرزه‌ای نشانه‌اي مستقيم از پيوستگي زمين‌شناسي است.

مکعب همدوسي، يك مکعب از ضرايب همدوسي (از داده‌های لرزه‌ای سه بعدی) توليد می‌کند که به وضوح بي هنجرائيهای چينه‌شناسي و ساختاري را روی برشهای افق یا زمانی بر جسته کرده و به نمايش در می‌آورد. اين تصاویر به طور جداگانه دلتاهای مدفون، کانالهای رودخانه‌اي، ريفها، گل‌فشانها، رخساره‌های آبدار و غيره را نمایان می‌سازند. به طور کلى، مکعب همدوسي با قدرت تفکيک بالا تصوير قابل توجهی از تغييرات را درون مکعب به معرض نمايش می‌گذارد که رخساره‌های زمين‌شناسي به گونه بهتری شناساني و تفکيک می‌شوند.

## ۲- نشانگرهاي لرزه‌ای همدوسي

در رده بندی نشانگرها، نشانگر لرزه‌ای همدوسي در گروه نشانگرهاي هندسي قراردارد. نشانگرهاي هندسي به طور کلى ارتباط مکاني و لحظه‌اي را با تمام نشانگرهاي ديگر توصيف می‌کنند. کاربرد اصلی اين گونه از نشانگرها در تشخيص لایه‌بندی، تفسير چينه‌شناسي و روابط سنگ‌شناسي است. اولين الگوريتم نشانگر لرزه‌ای همدوسي بر مبنای همبستگي عرضي تأخير هر ردلرزه با ردلرزه همسایه آن در راستاي خط گيرنده و خط انژري و سپس ترکيب کردن اين دو نتیجه پس از بهنجار کردن انژري توسط (Bahorich and Farmer, 1995) به ارائه شد. دومين الگوريتم بر مبنای شباهت چند ردلرزه که هم بر اساس تحليل سرعت لرزه‌ای اسات، توسط Marfurt et al. (1998) معرفی شد.

Gresztenkorn and Marfurt (1999) سومين الگوريتم نشانگر لرزه‌ای همدوسي بر مبنای ساختار ویژه را معرفی کردن که يك نشانگر لرزه‌ای همدوسي با توان تفکيک بسیار بالا در به تصوير کشیدن ناپيوستگيهای ساختاري و چينه‌شناسي درون داده‌های لرزه‌ای سه بعدی است. روش آخر، بر دو روش قبلی دارد زيرا محاسبات آن در يك زيرفضا صورت



ماتریس  $\mathbf{D}$  یک سری زمانی چند کانالی را بیان می‌کند که توصیفی از مکعب تحلیل است و یک ستون از ماتریس  $\mathbf{D}$ ,  $N$  نمونه از یک لزه‌نگاشت  $J$  را بیان می‌کند، در حالی که یک سطر از ماتریس  $\mathbf{D}$ ، نمونه  $n$  را در یک زمان که برای تمام لزه‌نگاشتها یکسان است بیان می‌کند. ورودی  $d_{nj}$  دامنه نمونه  $n$  ام لزه‌نگاشت زام است. بنابراین رابطه  $4$  برای به دست آوردن ماتریس کوواریانس (Gresztenkorn and Marfurt, 1999) به صورت رابطه  $5$  در می‌آید

$$\mathbf{C} = \mathbf{D}^T \mathbf{D} = \sum_{n=1}^N \mathbf{d}_n \mathbf{d}_n^T \quad (5)$$

که در آن  $\mathbf{D}^T$  ترانهاده ماتریس  $\mathbf{D}$  است. مرتبه ماتریس کوواریانس  $\mathbf{C}$  در رابطه  $5$  به وسیله تعداد مقادیر ویژه مثبت تعیین می‌شود. تعداد و اندازه نسبی مقادیر ویژه ماتریس کوواریانس  $\mathbf{C}$  تعیین کننده درجه آزادی داده‌های لزه‌ای موجود در مکعب تحلیلگر است. بنابراین مقادیر ویژه، نشانه کمی از وجود تغییرپذیری در داده‌های لزه‌ای را می‌دهند.

ماتریس کوواریانس  $\mathbf{C}$  در رابطه  $5$  ماتریسی متقارن با مقادیر ویژه بزرگتر یا برابر با صفر است. تخمین همدوسی بر مبنای ساختار ویژه به وسیله  $Tr(\mathbf{C})$  (Gresztenkorn and Marfurt, 1999) بیان می‌شود

$$Tr(\mathbf{C}) = \sum_{j=1}^J \sum_{n=1}^N d_{nj}^2 = \sum_{j=1}^J c_{jj} = \sum_{j=1}^J \lambda_j \quad (6)$$

که در آن  $\lambda_j$  بیانگر مقدار مقادیر ویژه است. رابطه  $6$  بیان می‌کند که کل انرژی برای ردلرزه‌هایی که به وسیله مکعب تحلیل احاطه می‌شوند، برابر با جمع مقادیر ویژه است. دو عبارت مختلف دیگر برای  $Tr(\mathbf{C})$  در رابطه  $6$  که ممکن است برای تعاریف مختلف دیگری که برای تخمین همدوسی براساس ساختار ویژه « $E_c$ » استفاده می‌شود، به صورت رابطه  $7$  است (Gresztenkorn and Marfurt, 1999)

$$E_c = \frac{\lambda_1}{Tr(\mathbf{C})} \quad (7)$$

که  $\lambda_1$  به عنوان بزرگ‌ترین مقدار ویژه  $\lambda$  در نظر گرفته می‌شود. رابطه  $7$  همدوسی ساختار ویژه را به عنوان نسبت مقدار ویژه غالب  $\lambda$  برای تمام انرژی درون مکعب تحلیل تعریف می‌کند.

اندازه مکعب تحلیل به تعداد ردلرزه‌ها (برای  $3$  ردلرزه در امتداد خط گیرنده در  $3$  ردلرزه در امتداد خط چشمی برابر  $9$  ردلرزه) و اندازه پنجره زمانی بستگی دارد. اندازه این دو عامل به نوع پیچیدگی و ساختار رخساره

امتداد خط چشمی  $\rho_y$  ( $m$  تأخیر) برای تعمیم تخمین سه‌بعدی همدوسی آن با  $\rho_{xy}$  به کار گرفتن دو ضریب بالا به صورت رابطه  $3$  بیان می‌شود (Marfurt et al., 1998)

$$\rho_{xy} = \sqrt{\left[ \max_i \rho_x(t, l, x_i, y_i) \right] \left[ \max_m \rho_y(t, m, x_i, y_i) \right]} \quad (3)$$

که در آن،  $\rho_x(t, l, x_i, y_i)$  و  $\rho_y(t, m, x_i, y_i)$  این نکته و مفهوم را بیان می‌کنند که هر کدام از تاخیرهای  $l$  و  $m$  برای  $\rho_x$  و  $\rho_y$  بیشترین مقدار هستند. هر اندازه پنجره تحلیل زمانی کوچک‌تر باشد، منجر به افزایش پدیده‌های غیرطبیعی در موجک خواهد شد و از طرفی هر اندازه پنجره تحلیل زمانی بزرگ‌تر باشد از نظر محاسباتی مقرر به صرفه نیست. مقدار این پنجره، به طول تداوم رخساره زمین شناسی بستگی دارد و برای مشخصات زمین شناسی با گستره زمانی قائم کوتاه‌تر با پنجره‌های تحلیل زمانی کوچک‌تر و مشخصاتی که گستره زمانی قائم طولانی‌تر با پنجره‌های تحلیل بزرگ‌تر بررسی می‌شوند.

## ۲-۲- الگوریتم نشانگر لزهای همدوسی بر مبنای ساختار ویژه

این روش توسط Gresztenkorn and Marfurt (1999) ارائه شد. برای محاسبه همدوسی بر مبنای ساختار ویژه، ابتدا یک زیر مجموعه کوچک از ردلرزه‌های مکعب اصلی که در اصطلاح به آن مکعب تحلیلگر گفته می‌شود توسط مفسر انتخاب می‌شود. این مکعب تحلیل در سراسر مکعب اصلی حرکت می‌کند. به این صورت که ابتدا در امتداد خط گیرنده سپس در امتداد خط چشمی به صورت ردلرزه به ردلرزه و در انتهای در راستای زمان یا عمق به صورت نمونه به نمونه زمانی یا عمقی حرکت می‌کند. مقدار همدوسی محاسبه شده برای مکعب تحلیل شده به مرکز مکعب تحلیل نسبت داده می‌شود. شکل و اندازه مکعب تحلیل توزیع هندسی ردلرزه‌ها و نمونه‌هایی که برای محاسبه همدوسی استفاده می‌شوند را تعریف می‌کند. برای محاسبه مکعب تحلیلگر باید به گونه‌ای ماتریس سه‌بعدی را به ماتریس دو بعدی (ماتریس  $\mathbf{D}$ ) تبدیل کرد. به این صورت که بعد از انتخاب مکعب تحلیل ردلرزه‌ها در امتداد خط گیرنده پشت سر یکدیگر قرار می‌گیرند که مرتبه ماتریس  $\mathbf{D}$  برابر با  $N \times J$  است. که به صورت رابطه  $4$  بیان می‌شود (Gresztenkorn and Marfurt, 1999)

$$\mathbf{D} = \begin{bmatrix} d_{11} & d_{12} & \dots & d_{1J} \\ d_{21} & d_{22} & \dots & d_{2J} \\ \vdots & \vdots & \ddots & \vdots \\ d_{N1} & d_{N2} & \dots & d_{NJ} \end{bmatrix} \quad (4)$$



شکل ۵-الف یک برش قائم از یک مکعب لرزه‌ای زمین‌شناسی مصنوعی را نشان می‌دهد. شکل ۵-ب برش قائم مکعب لرزه‌ای همدومنی بر مبنای همبستگی عرضی است. همان‌گونه که در شکل دیده می‌شد، گسلها را روی لایه‌های افقی با قدرت تفکیک مناسبی شناسایی کرده است. اما زمانی که شکل لایه‌ها از حالت افقی به حالت شیبدار تبدیل می‌شود، قدرت تفکیک آن هم کمتر می‌شود.

شکل ۵-ج برش قائم مکعب لرزه‌ای همدومنی بر مبنای ساختار ویژه را نشان می‌دهد. این شکل به خوبی این نکته را ثابت می‌کند که این نشانگر گسلها را در لایه‌های افقی و در لایه‌های شیبدار با قدرت تفکیک خوبی نمایان می‌کند.

با مقایسه شکلهای ۵-ب و ۵-ج و مطالعه ذکر شده می‌توان این نتیجه را گرفت که قدرت تفکیک نشانگر لرزه‌ای همدومنی بر مبنای ساختار ویژه بیشتر از نشانگر لرزه‌ای همدومنی بر مبنای همبستگی عرضی در شناسایی گسلهای a و b است.

#### ۴-داده‌های واقعی

در این قسمت به بررسی اثر نشانگر لرزه‌ای همدومنی بر روی یک مکعب لرزه‌ای واقعی پس از انبارش و کوچ زمانی متعلق به یکی از مناطق نفتی در شمال ایران، پرداخته می‌شود. فاصله نمونه برداری زمانی این داده ۴ میلی ثانیه و فاصله بین ردلرزه‌ها در راستای خط گیرنده و همچنین در راستای خط چشمی برابر با ۲۵ متر است. طول این مکعب در راستای خط گیرنده ۲۵۲۵ متر و در راستای خط چشمی ۱۷۷۵ متر و بازه زمانی آن ۱۰۰۰ میلی ثانیه است.

پس از بررسیهای به عمل آمده، به علت وجود گسلهای کوچک موجود در داده واقعی طول پنجره تحلیل زمانی تحلیل استفاده شده برای نشانگر لرزه‌ای همدومنی بر مبنای همبستگی عرضی ۱۶ بازه زمانی و ابعاد مکعب تحلیل برای نشانگر لرزه‌ای همدومنی بر مبنای ساختار ویژه از ۸۱ ردلرزه و پنجره‌ای به طول ۲۰ بازه زمانی در نظر گرفته شده است.

شکل ۶-الف مقطع قائم مکعب لرزه‌ای را در راستای خط گیرنده نشان می‌دهد. شکل‌های ۶-ب و ۶-ج به ترتیب مقاطعه قائم لرزه‌ای همدومنی بر مبنای همبستگی عرضی و ساختار ویژه را نمایان می‌سازند. همان‌گونه که در شکل‌ها هم نشان داده شده است، قدرت تفکیک قائم نشانگر لرزه‌ای همدومنی بر مبنای ساختار ویژه در مقایسه با نشانگر لرزه‌ای بر مبنای همبستگی عرضی بیشتر است و به آسانی گسلها را با قدرت تفکیک بالا شناسایی کرده است.

زمین‌شناسی موجود در منطقه مورد مطالعه در راستای قائم یا افقی بستگی دارد. اگر مفسر بخواهد قدرت تفکیک افقی را بالا ببرد به ناچار باید تعداد ردلرزه‌های بیشتری را در نظر بگیرد و یا اگر بخواهد قدرت تفکیک قائم را بالا ببرد، باید پنجره تحلیل بزرگ‌تری در نظر بگیرد. باید این نکته را مدنظر قرار داد که بزرگ‌گر انتخاب کردن مکعب تحلیل از نظر محاسباتی مقرر نبوده و صرفه نیست.

#### ۳-داده‌های مصنوعی

در این قسمت، تأثیر نشانگر لرزه‌ای همدومنی روی مکعبهای لرزه‌ای مصنوعی زمین‌شناسی که فقط در نسبت سیگنال به نویه با یکدیگر تقاضا دارند، اعمال شد. نتایج نشان داد که این نشانگر قادر است حتی با نسبت سیگنال به نویه کم گسلهای کوچک را شناسایی و نمایش دهد.

برای بررسی تأثیر نشانگر لرزه‌ای در شناسایی گسلهای مدل مکعب مصنوعی در نظر گرفته شده به گونه‌ای طراحی شده است که حاوی سه لایه زمین‌شناسی افقی و دو لایه زمین‌شناسی شیبدار (شکل ۱) است. این مکعب دارای ۱۰۰ ردلرزه در امتداد خط گیرنده و ۱۰۰ ردلرزه در امتداد خط چشمی و طول پنجره زمانی آن ۱۲۰۰ میلی ثانیه با نموده برداری زمانی ۴ میلی ثانیه با نسبت سیگنال به نویه ۱ است. این مکعب دارای دو مجموعه گسلی شیبدار a و b در دو راستای مختلف است.

اکنون در این قسمت، به منظور بررسی تأثیر نشانگر لرزه‌ای همدومنی و همچنین با توجه به کوچک در نظر گرفتن جایه جایی گسلهای انتخاب شده، برای انتخاب بهینه پنجره تحلیلگر زمانی نشانگر لرزه‌ای همدومنی بر مبنای همبستگی عرضی از سه پنجره تحلیلگر زمانی به اندازه ۸، ۱۶ و ۳۲ بازه زمانی استفاده شد که پس از تحلیل برشهای قائم مکعبهای تحلیل شده در شکل ۲ نشان داده شده است. با توجه به شکل ۲ می‌توان نتیجه گرفت که بهترین پنجره، پنجره تحلیل به اندازه ۱۶ بازه زمانی (شکل ۲-ب) است. همچنین برای انتخاب مکعب تحلیلگر نشانگر لرزه‌ای همدومنی بر مبنای ساختار ویژه، باید هم با در نظر گرفتن تأثیر مکان و هم تأثیر زمان مکعب تحلیلگر بهینه را انتخاب کرد. اندازه مکعب تحلیلگر برای پنجره‌ای با ۱۰ و ۲۰ بازه زمانی و پنجره مکانی ۹، ۲۵ و ۸۱ ردلرزه استفاده شود. شکل ۳ تأثیر مکعب تحلیلگر با پنجره زمانی ۱۰ بازه زمانی و پنجره‌های مکانی ۹، ۲۵ و ۸۱ ردلرزه را نشان می‌دهد و شکل ۴ تأثیر مکعب تحلیلگر با پنجره زمانی ۲۰ میلی ثانیه و پنجره‌های مکانی ۹، ۲۵ و ۸۱ ردلرزه را نشان می‌دهد. از مقایسه این دو شکل می‌توان نتیجه گرفت که ابعاد مکعب تحلیلگر بهینه از ۸۱ ردلرزه و بازه زمانی آن ۲۰ بازه زمانی (شکل ۳-ج) است.

با بررسی نتایج به دست آمده بر روی داده‌های مصنوعی و واقعی مشخص شد که این روش در داده‌های لرزه‌ای با نسبت سیگنال به نویه ۱ می‌تواند گسلها را شناسایی کند. همچنین نتایج نشان دادند که قدرت تفکیک نشانگر لرزه‌ای همدومنی بر مبنای همبستگی عرضی برمبنای ساختار ویژه بیشتر از نشانگر لرزه‌ای همدومنی بر مبنای همبستگی عرضی است.

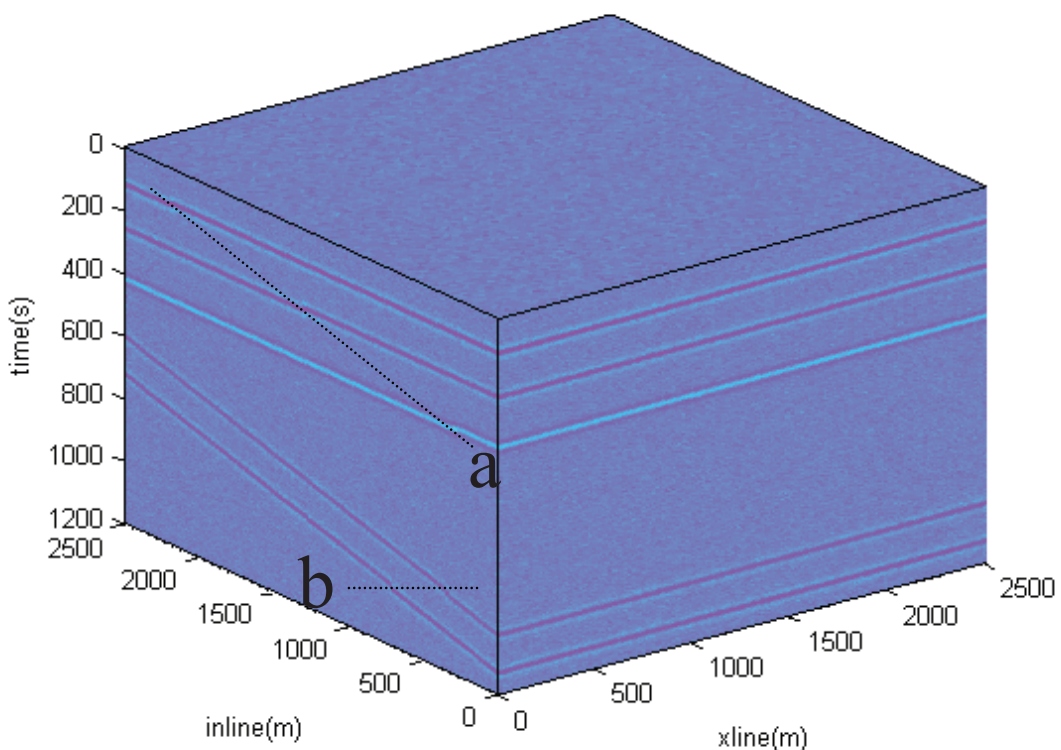
### سپاسگزاری

این مطالعه در غالب طرح پژوهشی مصوب ۶۲۰۱۰۴/۱۰۵ دانشگاه تهران انجام شده است. لذا از مؤسسه ژئوفیزیک و حوزه معاونت آموزشی دانشگاه تهران قدردانی می‌گردد. همچنین از اداره کل ژئوفیزیک مدیریت اکتشاف شرکت ملی نفت ایران که امکان استفاده از داده‌های لرزه‌ای را فراهم نمودند، قدردانی به عمل می‌آید.

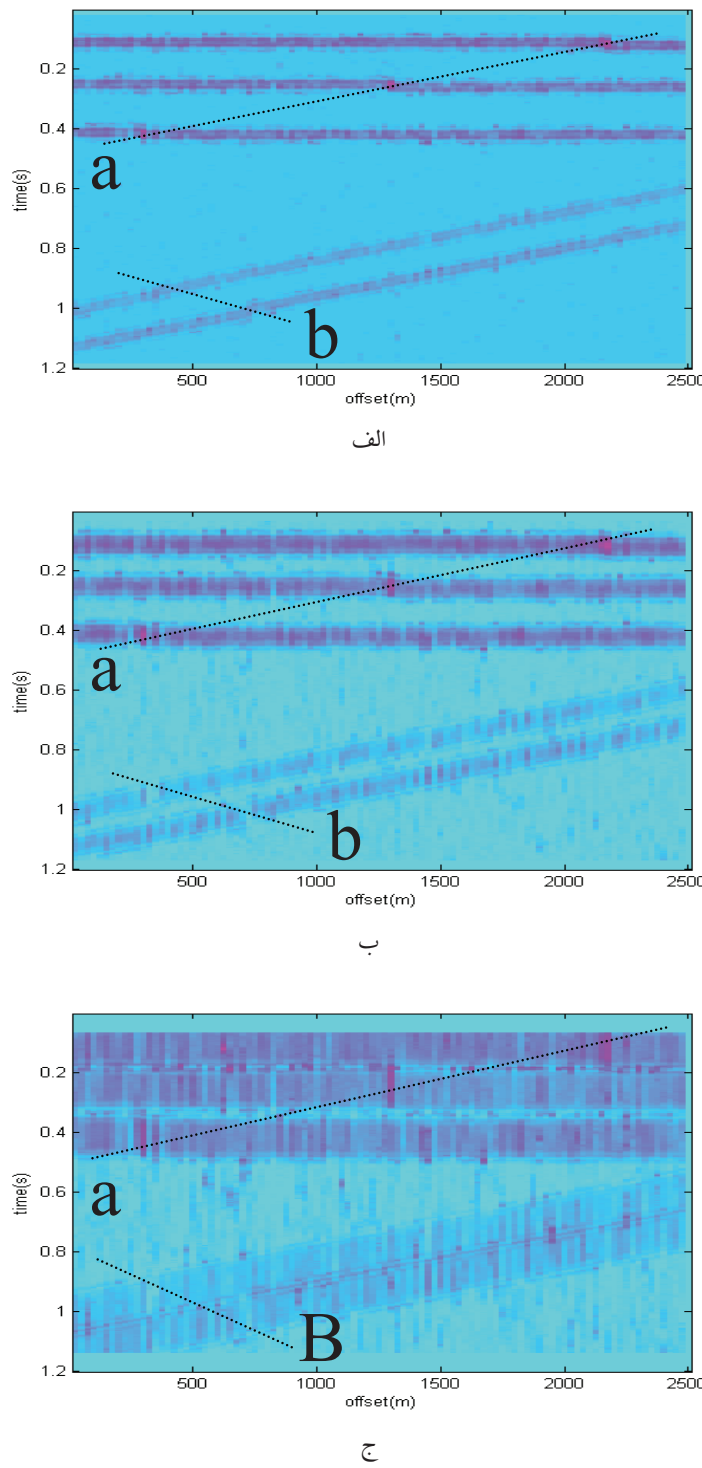
شکل ۷-الف مقطع افقی مکعب لرزه‌ای را در زمان ۸۴۸ میلی ثانیه نشان می‌دهد. شکلهای ۷-ب و ۷-ج به ترتیب برشهای نشانگر لرزه‌ای همدومنی بر مبنای همبستگی عرضی و ساختار ویژه را در همین زمان نشان می‌دهند. با مقایسه شکلهای ۷-ب و ۷-ج نتیجه می‌شود که قدرت تفکیک افقی نشانگر لرزه‌ای همدومنی بر مبنای ساختار ویژه هم بالاتر از نشانگر لرزه‌ای همدومنی بر مبنای همبستگی عرضی است.

### ۵- نتیجه‌گیری

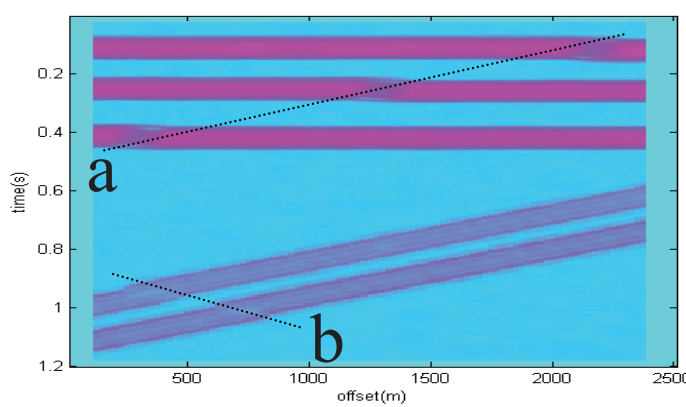
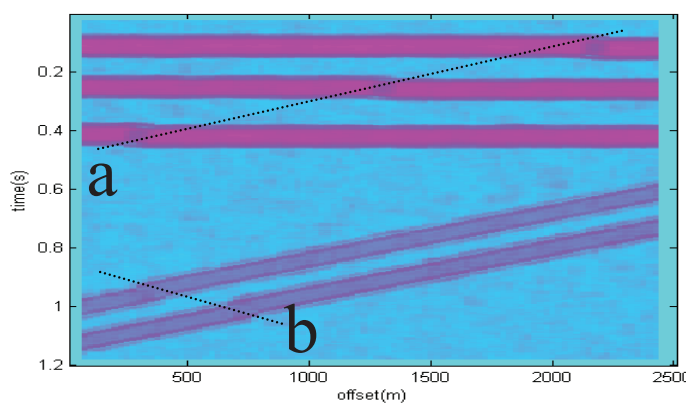
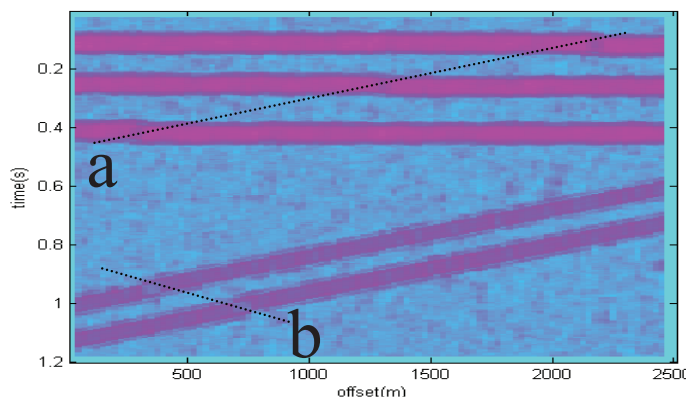
نشانگر لرزه‌ای همدومنی یکی از راهکارهای کلیدی در شناسایی ناپیوستگیهای ساختاری بویژه گسلها در مکعب داده‌های لرزه‌ای است. این راهکار کمک شایانی به مفسر در تفسیر زونهای خردشده و همچنین در هنگام حفاری به حفاران می‌کند.



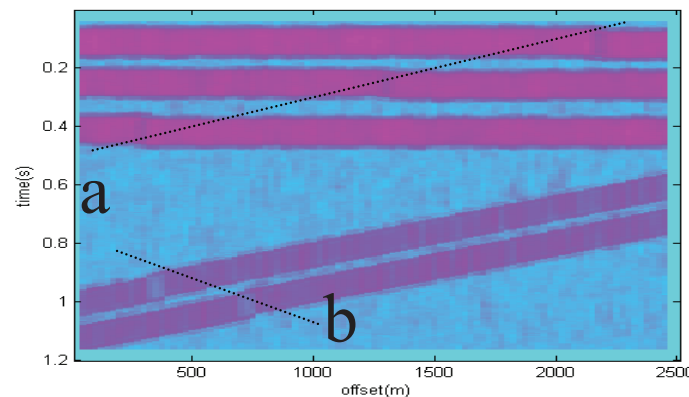
شکل ۱- وضعیت دو گسل a و b مورد بررسی در مکعب لرزه‌ای مصنوعی.



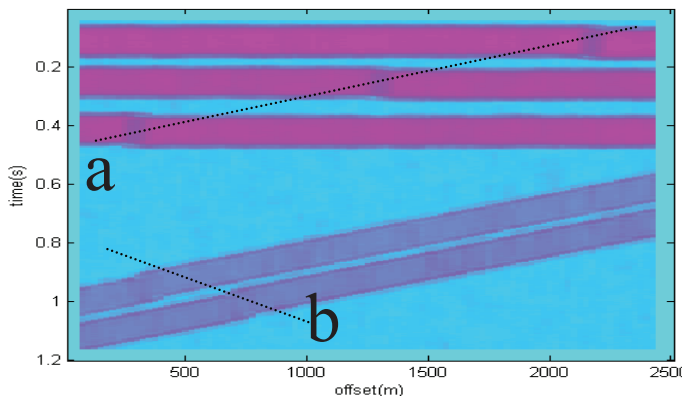
شکل ۲- مقایسه طول زمانی ( $2\omega$ ) پنجره‌های تحلیل نشانگر لرزه‌ای همدوسي بر مبنای همبستگی عرضی بر روی مکعب داده‌های لرزه‌ای مصنوعی. (الف) پنجره تحلیل با ۸ بازه زمانی (۳۶ میلی ثانیه) بر روی مقطع قائم لرزه‌ای مصنوعی، (ب) پنجره تحلیل با ۱۶ بازه زمانی (۶۸ میلی ثانیه) بر روی مقطع قائم لرزه‌ای مصنوعی و (ج) پنجره تحلیل با ۳۲ بازه زمانی (۱۳۲ میلی ثانیه) بر روی مقطع قائم لرزه‌ای مصنوعی. گسلهای مایل a و b با خطوط نقطه‌چین نشان داده شده‌اند که در شکل ج گسلها با قدرت تفکیک بهتری آشکار شده‌اند.



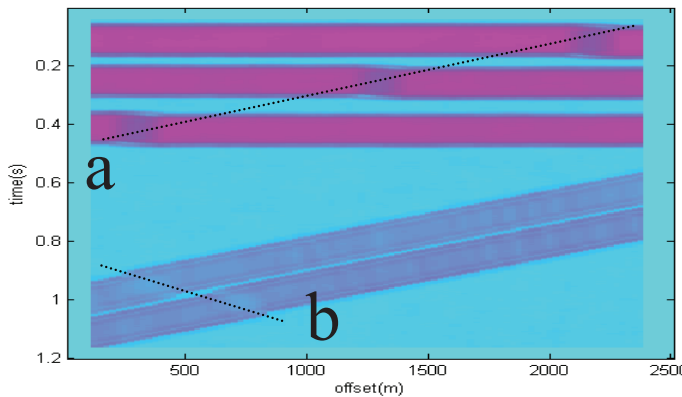
شکل ۳- مقایسه مکعب تحلیل نشانگر لرزه‌ای همدوسی بر مبنای همبستگی عرضی با پنجره ۱۰ بازه زمانی (۴۴ میلی ثانیه) و پنجره‌های مکانی ۹، ۲۵ و ۸۱ ردلرزه بر روی داده‌های لرزه‌ای مصنوعی. (الف) مکعب تحلیل با پنجره ۱۰ بازه زمانی (۴۴ میلی ثانیه) و پنجره مکانی با ۹ ردلرزه بر روی مقطع قائم لرزه‌ای مصنوعی، (ب) مکعب تحلیل با پنجره ۱۰ بازه زمانی (۴۴ میلی ثانیه) و پنجره مکانی با ۲۵ ردلرزه بر روی مقطع قائم لرزه‌ای مصنوعی و (ج) مکعب تحلیل با پنجره ۱۰ بازه زمانی (۴۴ میلی ثانیه) و پنجره مکانی با ۸۱ ردلرزه بر روی مقطع قائم لرزه‌ای مصنوعی. گسلهای مایل a و b به صورت خطوط نقطه‌چین نشان داده شده‌اند که در شکل ج گسلها با قدرت تفکیکی بهتری آشکار شده‌اند.



الف

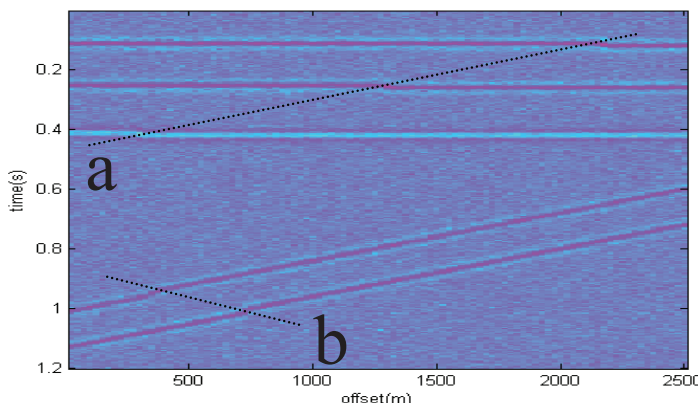


ب

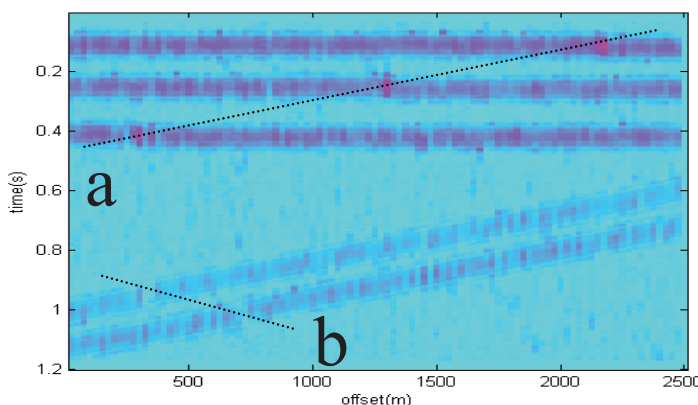


ج

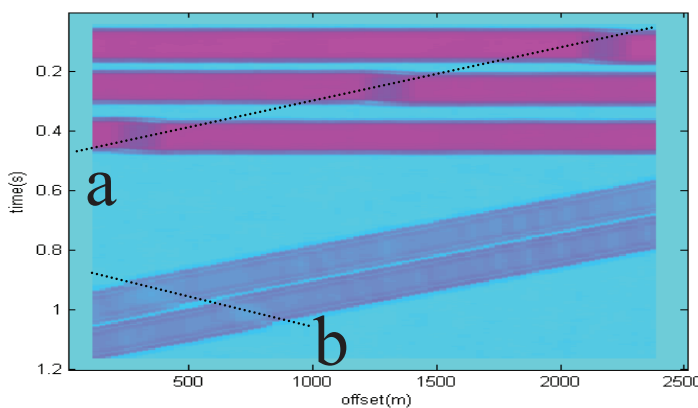
شکل ۴- مقایسه مکعب تحلیل نشانگر لرزه‌ای همدوسی بر مبنای همبستگی عرضی با پنجره ۲۰ بازه زمانی (۸۴ میلی ثانیه) و پنجره‌های مکانی ۹، ۲۵ و ۸۱ ردلرزه بر روی داده‌های لرزه‌ای مصنوعی. الف) مکعب تحلیل با پنجره ۲۰ بازه زمانی (۸۴ میلی ثانیه) و پنجره مکانی با ۹ ردلرزه بر روی مقطع قائم لرزه‌ای مصنوعی، ب) مکعب تحلیل با پنجره ۲۰ بازه زمانی (۸۴ میلی ثانیه) و پنجره مکانی با ۲۵ ردلرزه بر روی مقطع قائم لرزه‌ای مصنوعی و ج) مکعب تحلیل با پنجره ۲۰ بازه زمانی (۸۴ میلی ثانیه) و پنجره مکانی با ۸۱ ردلرزه بر روی مقطع قائم لرزه‌ای مصنوعی. گسلهای مایل a و b به صورت خطوط نقطه‌چین نشان داده شده‌اند که در شکل ج گسلها با قدرت تفکیک بهتری آشکار شده‌اند.



الف

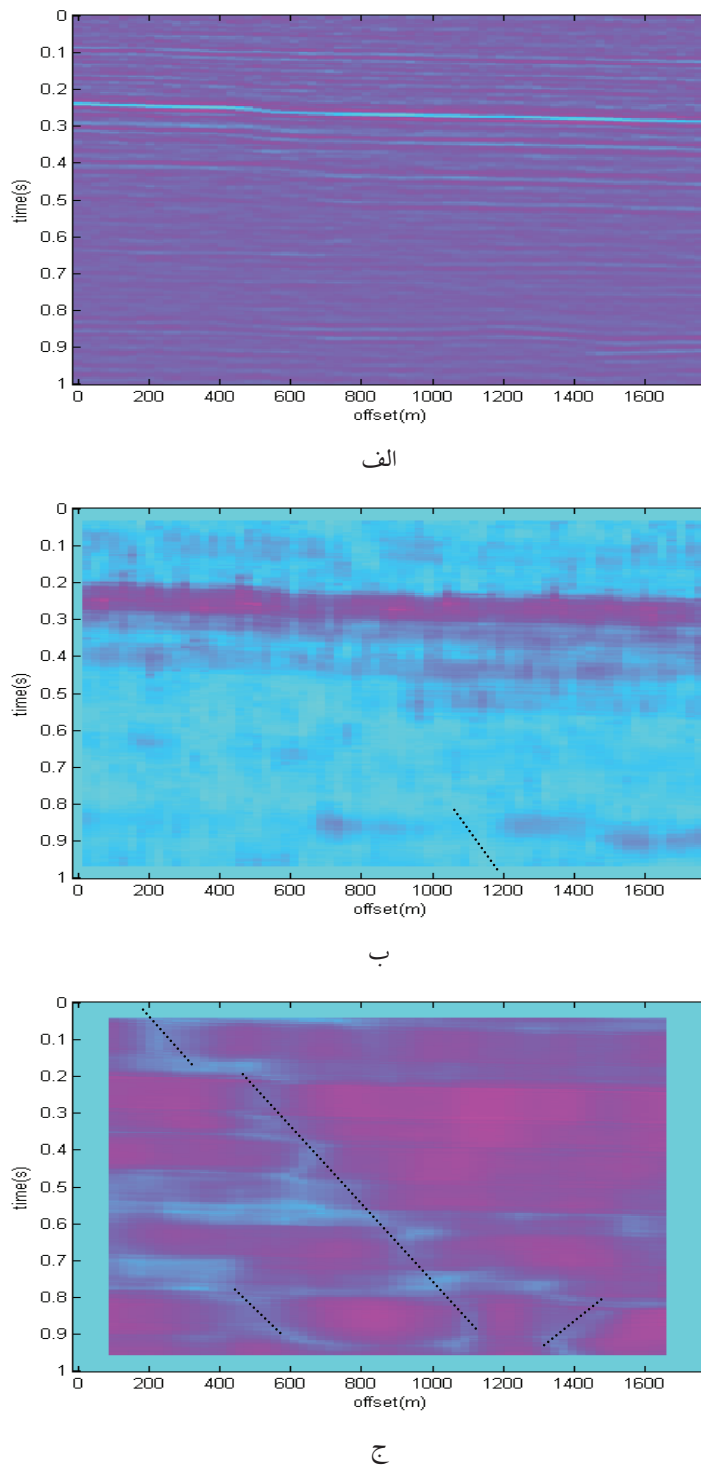


ب

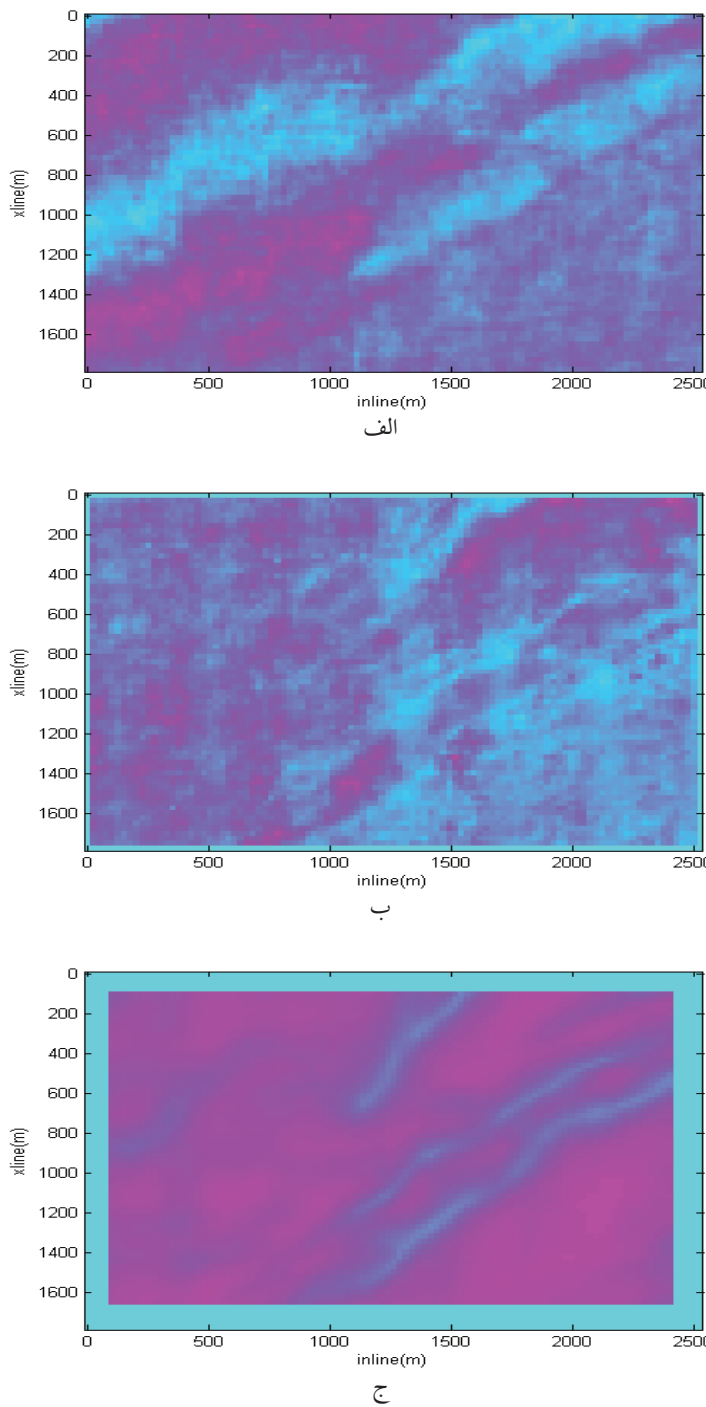


ج

شکل ۵- مقایسه نشانگرهای لرزه‌ای همدوسی برای شناسایی گسلها بر روی داده‌های مصنوعی. الف) مقطع قائم لرزه‌ای مصنوعی (نسبت سیگنال به نویه آن ۲ است)، ب) مقطع قائم لرزه‌ای همدوسی بر مبنای همبستگی عرضی. ج) مقطع قائم لرزه‌ای همدوسی بر مبنای ساختار ویژه. گسلهای a و b گسلهای مایل هستند که با خطوط نقطه چین نشان داده شده‌اند که در شکل ج گسلها با قدرت تفکیک بهتری نسبت به شکل ب آشکار شده‌اند.



شکل ۶- مقایسه نشانگرهای لرزه‌ای همدوسی بر روی داده‌های واقعی. (الف) مقطع قائم لرزه‌ای ب) مقطع قائم لرزه‌ای همدوسی بر مبنای همبستگی عرضی. (ج) مقطع قائم لرزه‌ای همدوسی بر مبنای ساختار ویژه. گسلها با خط چین نشان داده شده‌اند که در شکل ج گسلها با قدرت تفکیک بهتری نسبت به شکل ب آشکار شده‌اند.



شکل ۷- مقایسه نشانگرهای لرزه‌ای همدوسی بر روی داده‌های واقعی. (الف) مقطع افقی لرزه‌ای در زمان ۸۴۸ میلی ثانیه. (ب) مقطع افقی لرزه‌ای همدوسی بر مبنای همبستگی عرضی در زمان ۸۴۸ میلی ثانیه. (ج) مقطع افقی لرزه‌ای همدوسی بر مبنای ساختار ویژه در زمان ۸۴۸ میلی ثانیه. همان‌گونه که در شکل پیداست گسلها روی شکل ج به خوبی نمایان شده‌اند.

## References

- Bahorich, M. S. and Farmer, S. L., 1995- 3-D seismic coherency for faults and stratigraphic features: The Leading Edge, 1053-1058.
- Chopra, S., 2002- Coherence cube and beyond: First Break, 20, 27-33.
- Gresztenkorn, A. and Marfurt, K. J., 1999- Eigenstructure-based coherence computations as an aid to 3-D structural and stratigraphic mapping: Geophysics, 64, 1468-1479.
- Marfurt, K. J. and Kirlin, R. L., 2000- 3-D broad band estimates of reflector dip and amplitude: Geophysics, 65, 304-320.
- Marfurt, K. J., Kirlin, R. L., Farmer, S. L. and Bahorich, M. S., 1998- 3-D seismic attributes using a running window semblance-based algorithm: Geophysics, 63, 1150-1165.
- Marfurt, K. J., Suadhakar, V., Gresztenkorn, A., Crawford, K. D. and Nissen, S. E., 1999- Coherency calculations in the presence of structural dip: Geophysics, 64, 104-111.